

## Magnetización Susceptibilidad

Susceptibilidad en equilibrio

Susceptibilidad fuera del equilibrio

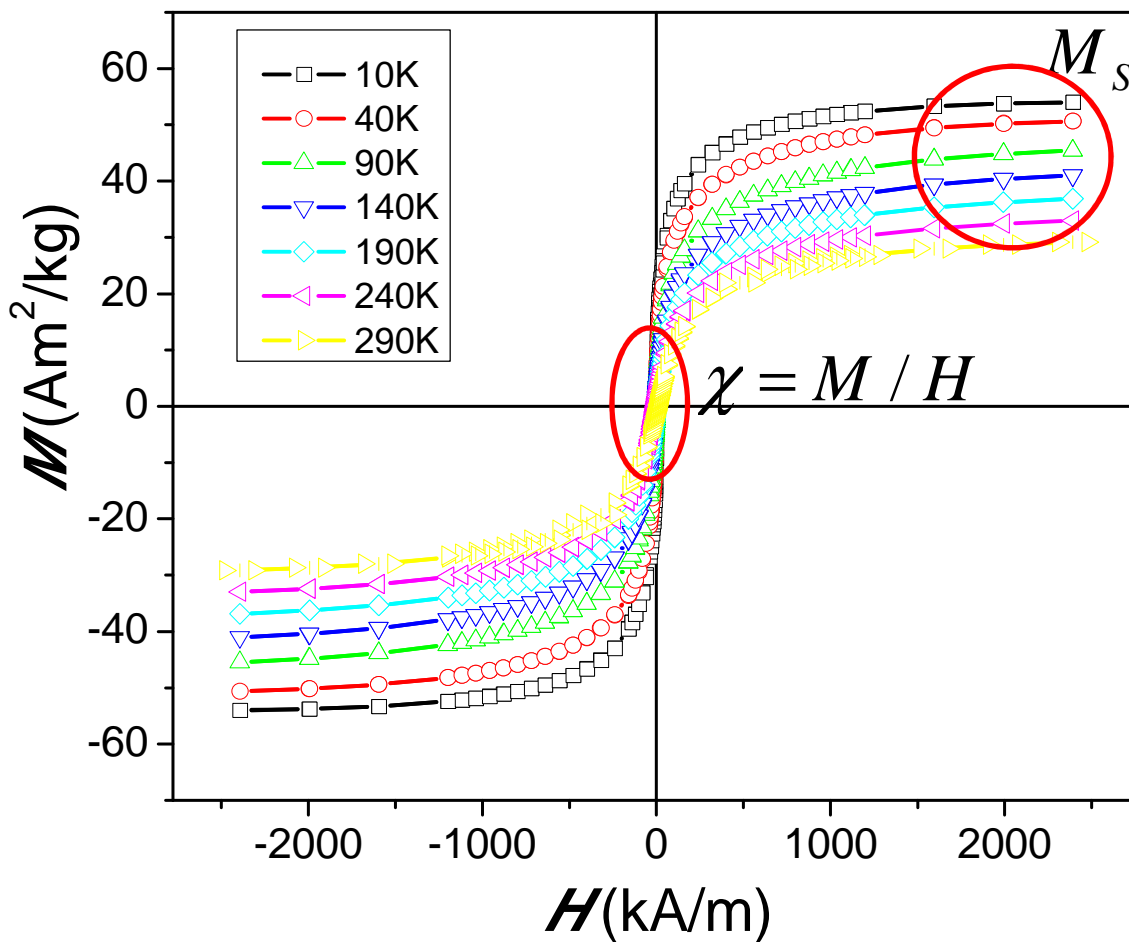
Protocolos dc: FC, ZFC

Susceptibilidad ac

## Magnetización y susceptibilidad en equilibrio

Si no hay distribución de tamaños:

$$M(H, T) = N\mu L(x), \quad x = \frac{\mu_0 \mu H}{kT}$$



$$M_s = N\mu$$

$$\chi = \frac{N\mu_0\mu^2}{3kT}$$

$$N = 1/V_{pp}$$

$$\mu = M_s V_{pp}$$

$$M_s$$

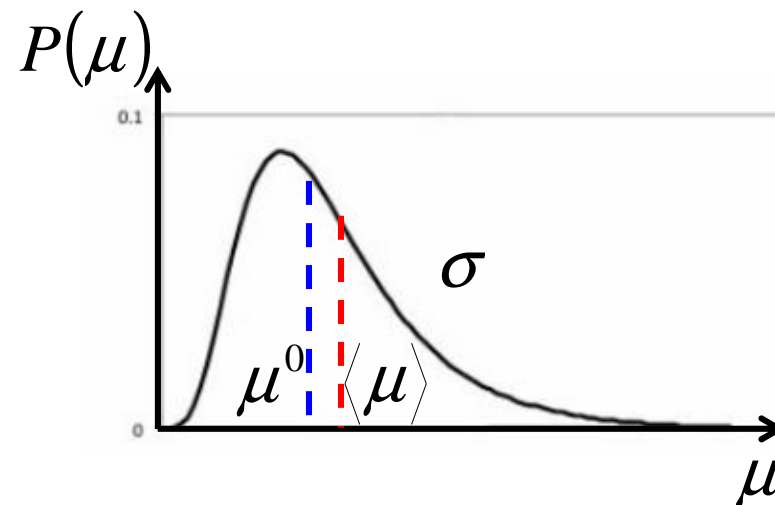
$$\chi = \frac{\mu_0 M_s^2 V_{pp}}{3kT}$$

## Magnetización en equilibrio

Si hay distribución de tamaños:

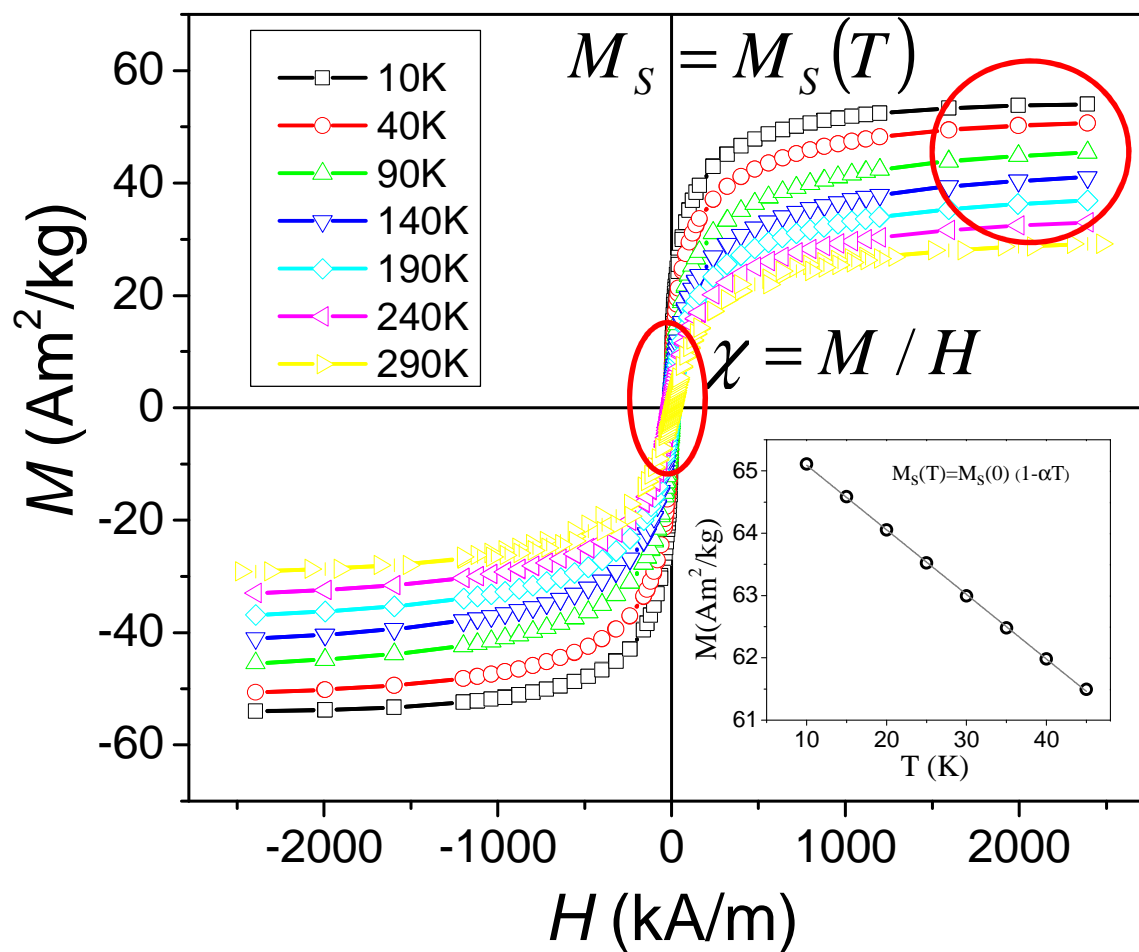
$$M(H, T) = N \int \mu L(x) f(\mu) d\mu, \quad x = \frac{\mu_0 \mu H}{kT}$$

$$f(\mu) = \frac{1}{\sigma \sqrt{2\pi}} e^{-\ln(\mu/\mu^0)^2/2\sigma^2}$$



$$\langle \mu \rangle = \mu^0 e^{\sigma^2/2}$$

$$SD = \langle \mu \rangle \sqrt{e^{\sigma^2} - 1}$$



$$M_S = N\langle \mu \rangle$$

$$\chi = \frac{N\mu_0\langle \mu^2 \rangle}{3kT}$$

$$SD_\mu = \sqrt{\langle \mu^2 \rangle - \langle \mu \rangle^2}$$

$$\langle \mu^2 \rangle = \langle \mu \rangle^2 \left( 1 + SD_\mu^2 / \langle \mu \rangle^2 \right)$$

$$\chi = \frac{N\mu_0\langle \mu \rangle^2 \left( 1 + SD_\mu^2 / \langle \mu \rangle^2 \right)}{3kT}$$

## Susceptibilidad en equilibrio

N = nro nps por unidad de volumen

$\mu$  = momento de la np

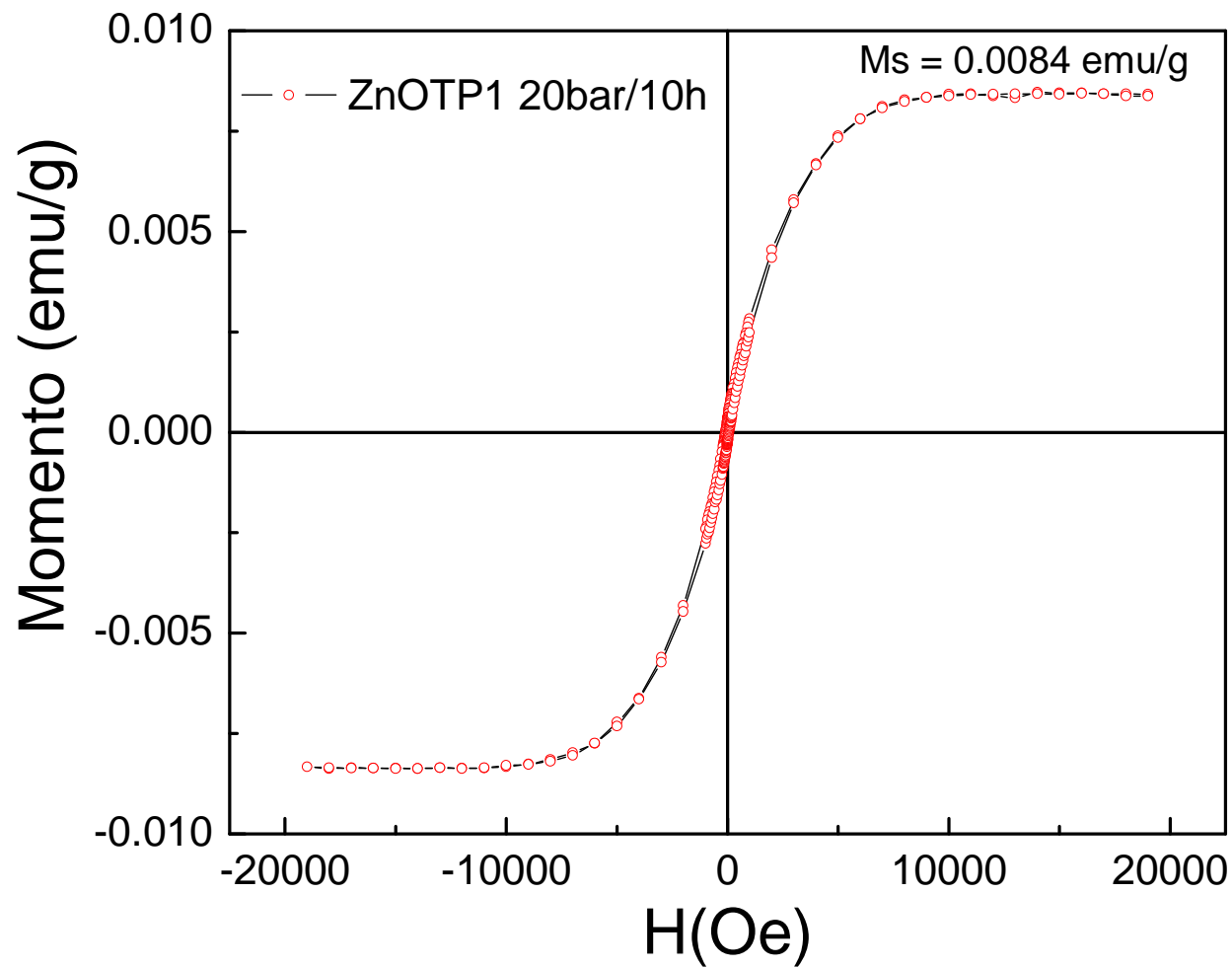
$$N = 1 / \langle V_{pp} \rangle$$

$$\chi(H, T) = \frac{N\mu_0 \langle \mu^2 \rangle}{3kT} = \frac{N\mu_0 \langle \mu \rangle^2 \left(1 + SD_\mu^2 / \langle \mu \rangle^2\right)}{3kT}$$

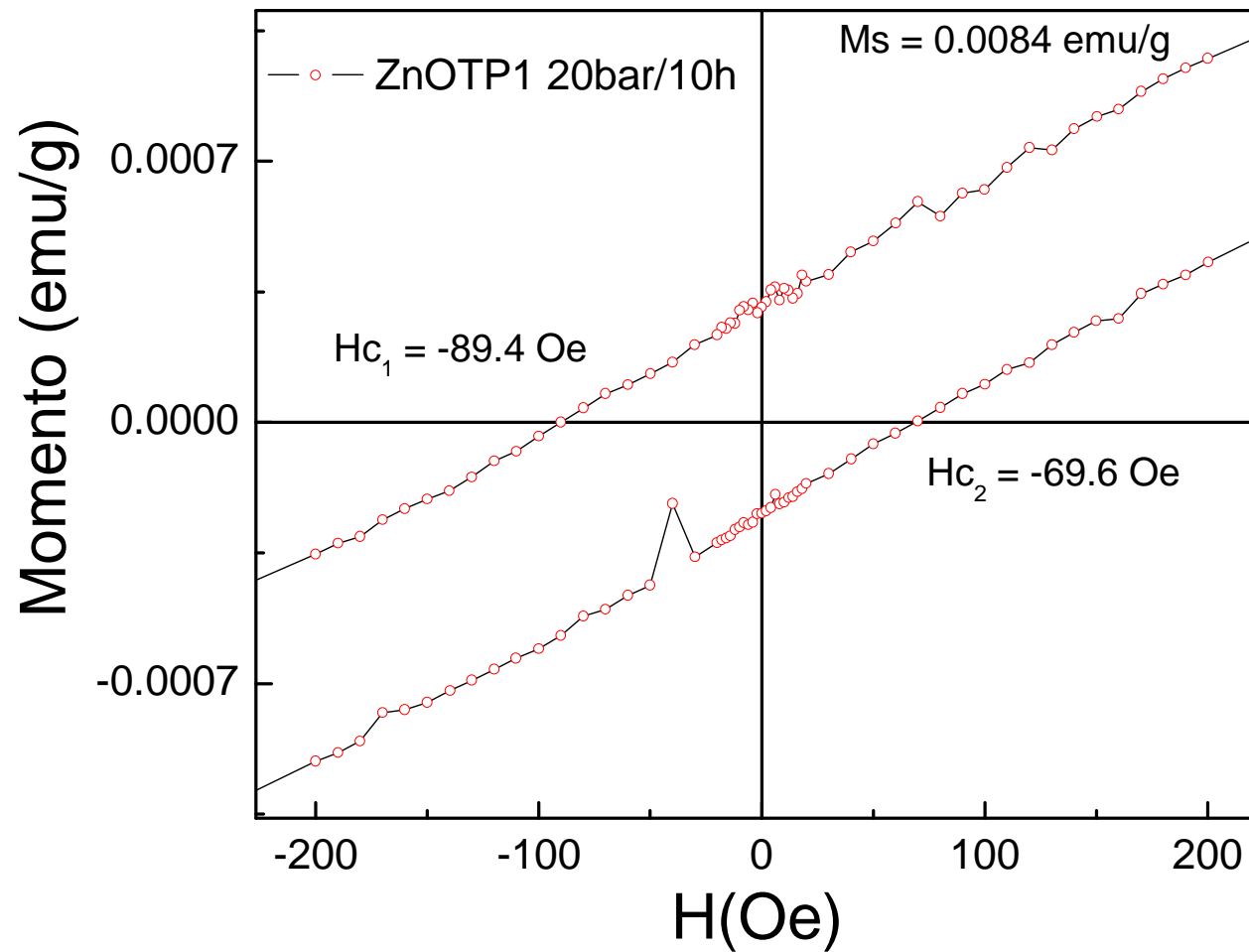
$$SD_V / \langle V_{pp} \rangle = SD_\mu / \langle \mu \rangle$$

$$M_s \quad \chi(H, T) = \frac{\mu_0 \langle V_{pp} \rangle \left(1 + SD_V^2 / \langle V_{pp} \rangle^2\right) M_s^2}{3kT}$$

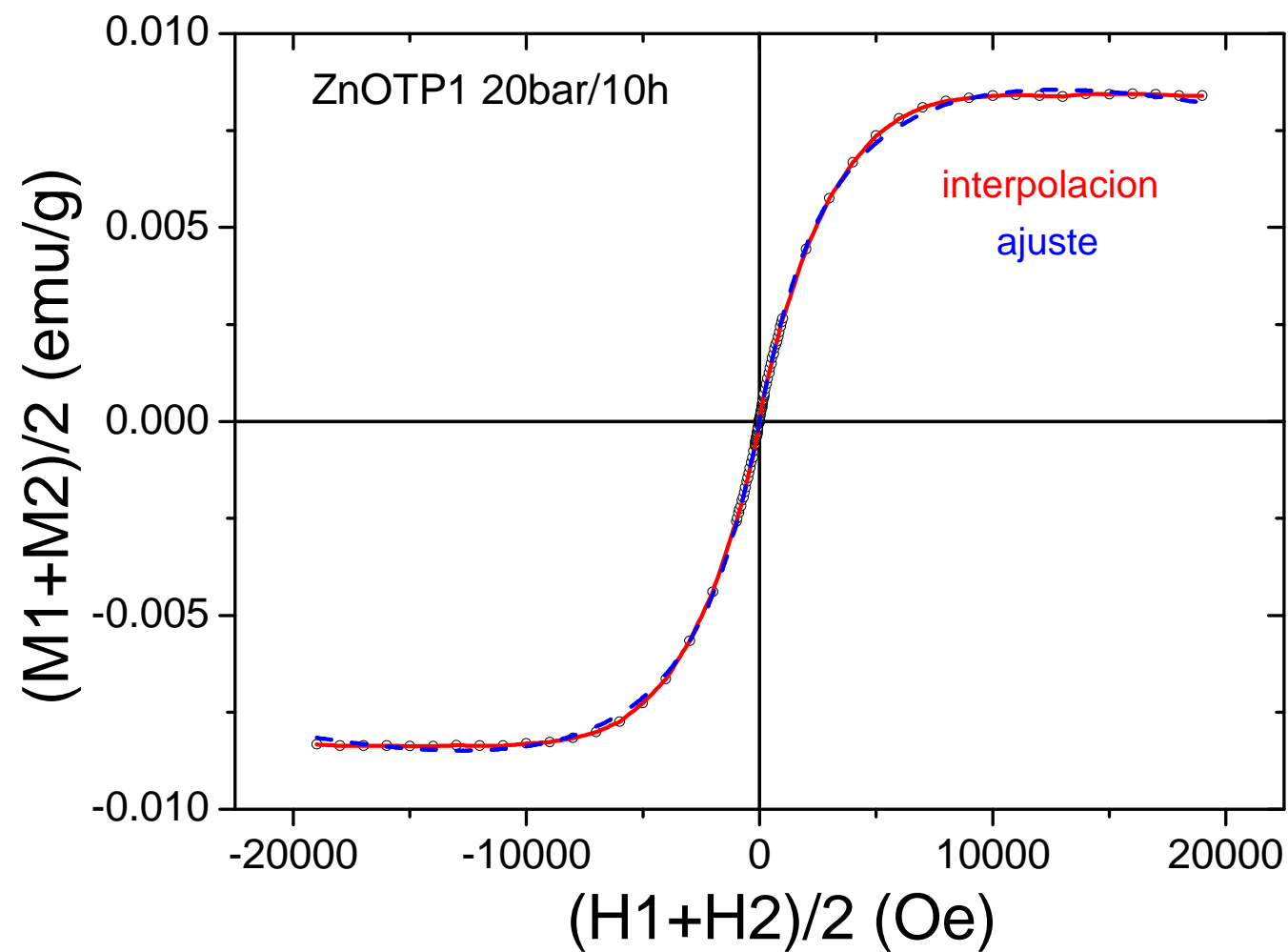
## Problema-ejemplo



## Problema-ejemplo



## Problema-ejemplo, ajuste



## Datos del ajuste

$$M(H, T) = N \int \mu L(x) f(\mu) d\mu + C_{par} H + Cte, \quad x = \frac{\mu_0 \mu H}{kT}$$

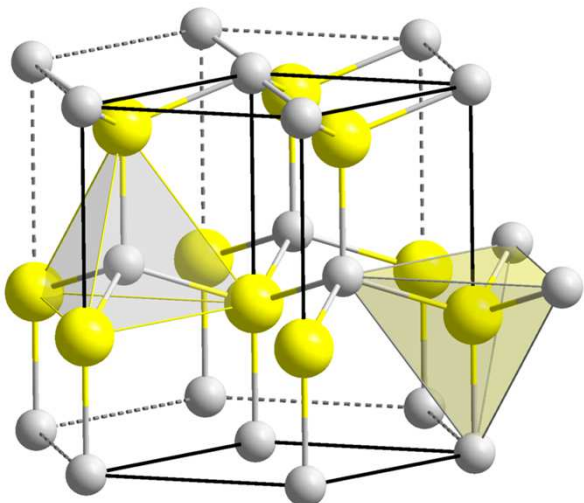
$$f(\mu) = \frac{1}{\sigma \sqrt{2\pi}} e^{-\ln(\mu/\mu^0)^2/2\sigma^2}$$

	valor	incerteza
$\sigma$	0.844	0.001
$\mu^0 (\mu_B)$	1102.0	0.6
N (1/g)	9.37e14	-
$C_{par}$ (emu/gOe)	-1.86e-7	1e-9
Cte (emu/g)	3.14e-5	6e-7

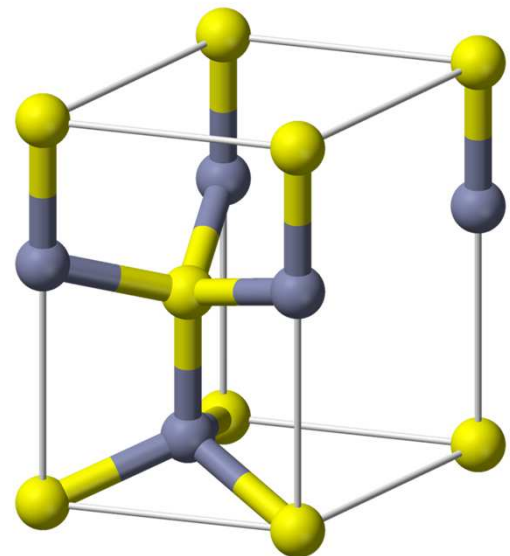
$$\langle \mu \rangle = \mu^0 e^{\sigma^2/2} = 1574 \mu_B$$

$$SD = \langle \mu \rangle \sqrt{e^{\sigma^2} - 1} = 1605 \mu_B$$

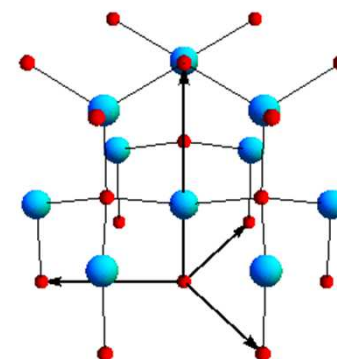
## Datos del ZnO



masa molar=81.38 g/mol  
densidad=5.606 g/cm<sup>3</sup>  
hexagonal,  $a = 3.25 \text{ \AA}$ ,  $c = 5.2 \text{ \AA}$   
2Zn, 2O por celda  
volumen celda  $V_c=0.0476 \text{ nm}^3$



si  $\mu_{\text{at}}(\text{Zn}) = 1 \mu_B$   
entonces,  
 $V_p=1574*V_c/2=37.4 \text{ nm}^3$   
y  $D_p=4.2 \text{ nm}$



## Susceptibilidad en equilibrio

llamando

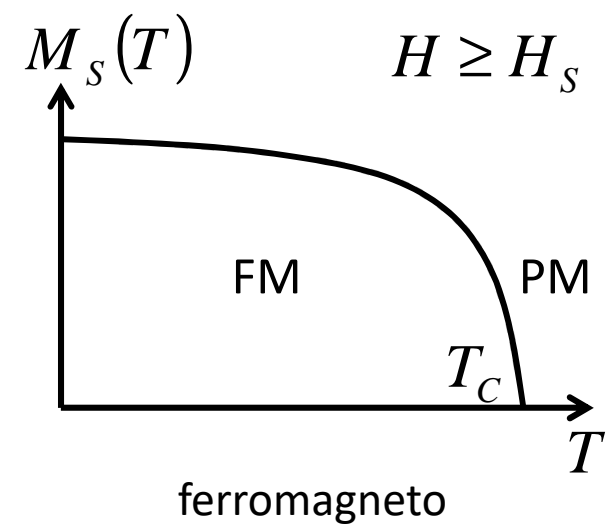
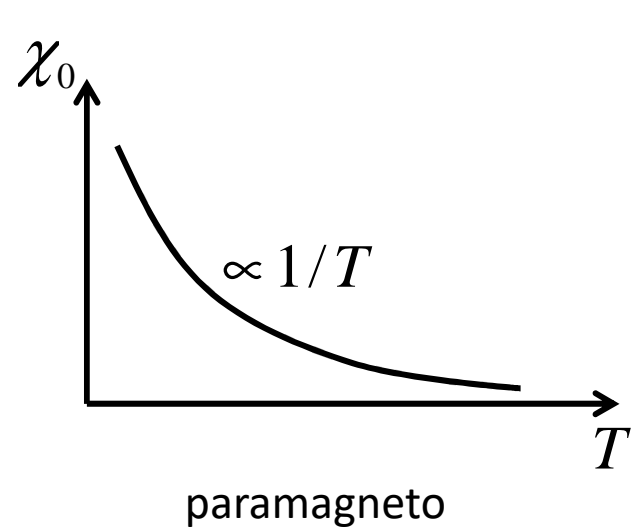
$$\rho = \langle \mu^2 \rangle / \langle \mu \rangle^2 \quad (\text{Allia et al.})$$

La expresión de la susceptibilidad queda:

$$\chi(H, T) = \frac{N\mu_0\rho\langle \mu \rangle^2}{3kT}$$

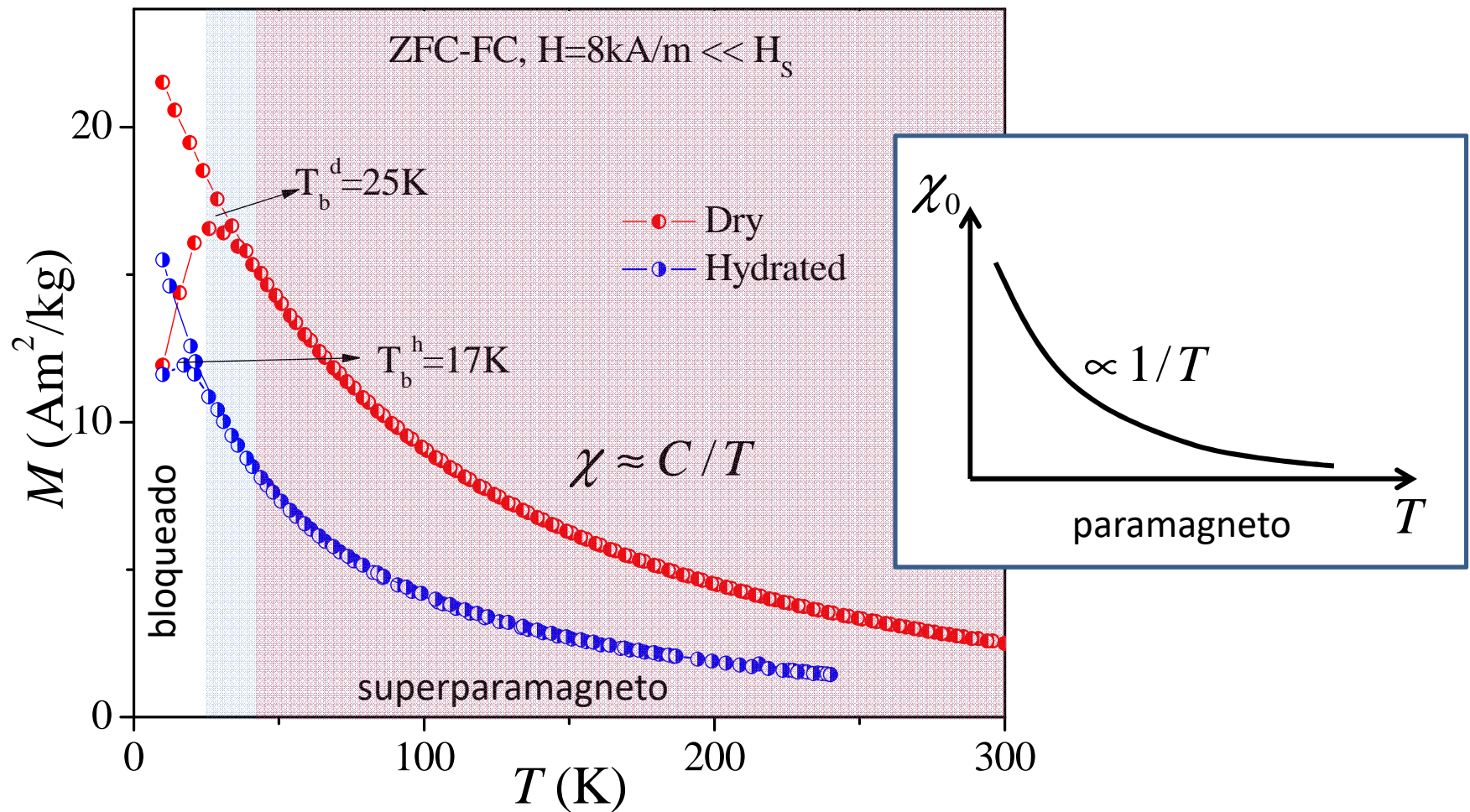
$$\chi(H, T) = \frac{\mu_0 \langle V_{pp} \rangle \rho M_s^2}{3kT}$$

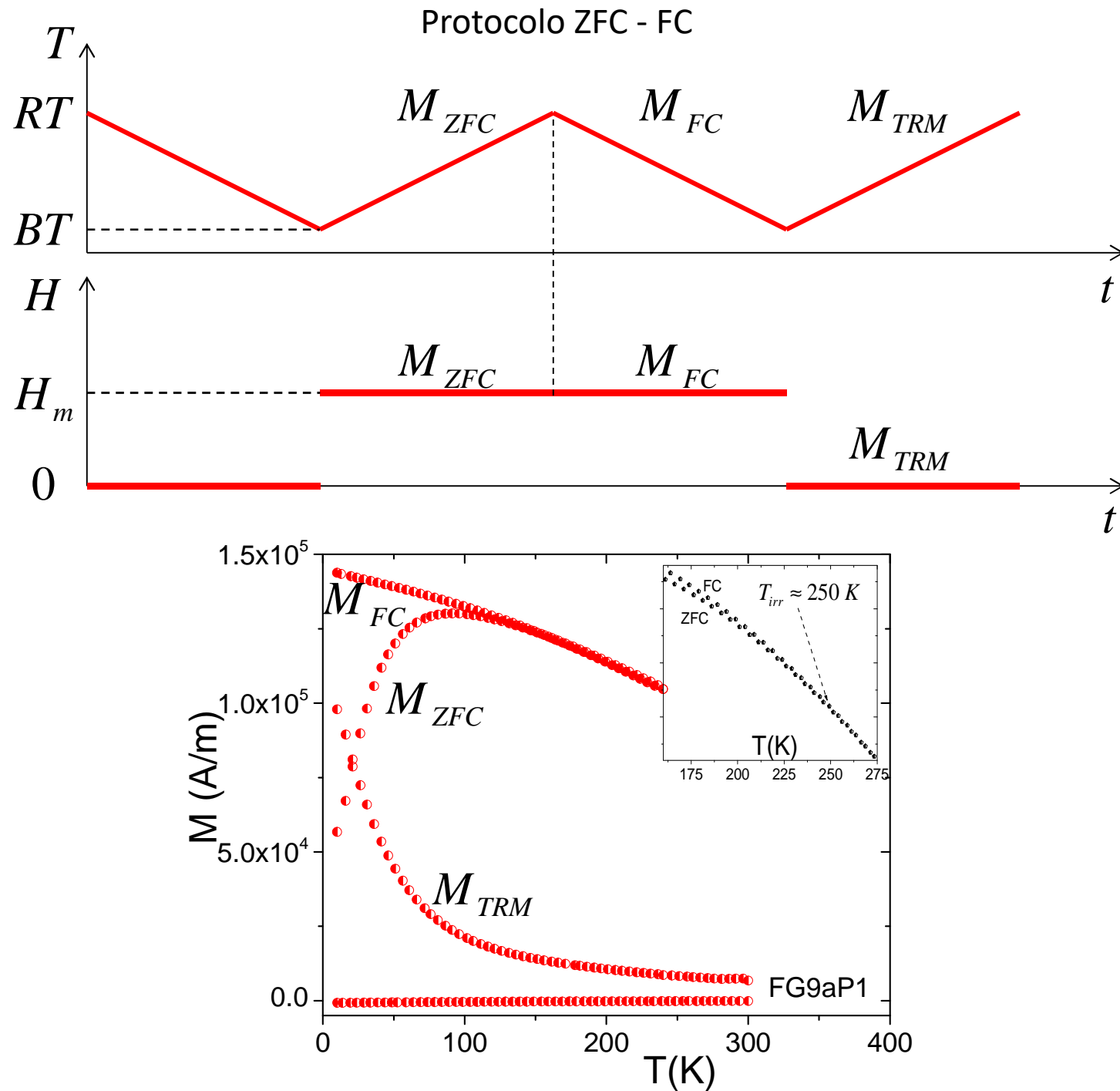
## Medidas de M o Susceptibilidad en función de T



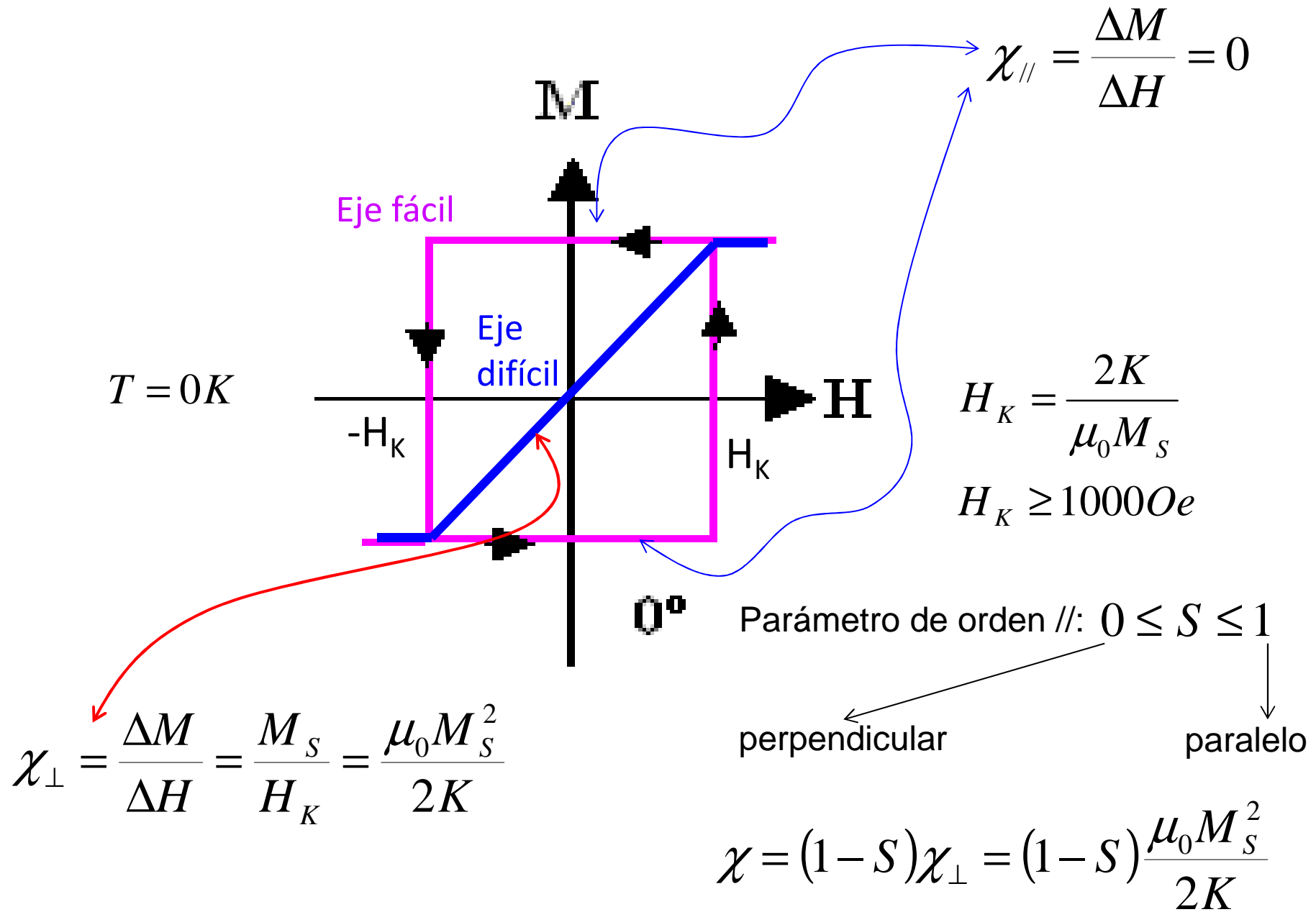
## Medidas de susceptibilidad en función de T

NPs monodominio



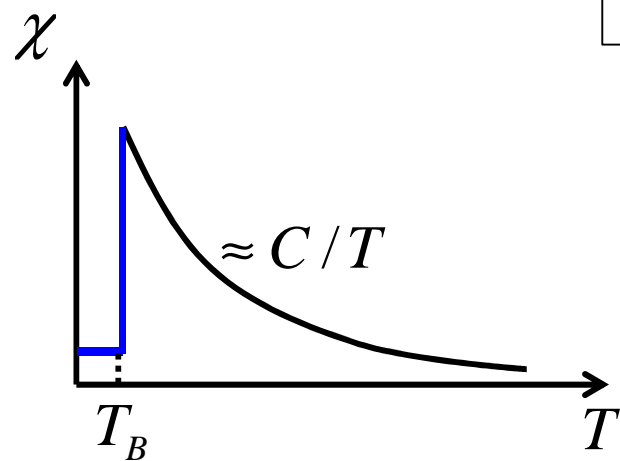


## Susceptibilidad fuera del equilibrio (régimen bloqueado) a T = 0 K



$$\chi_0 = \frac{\mu_0 N V^2 M_s^2}{3kT} \quad \tau \ll \tau_{\text{exp}} \quad \tau / \tau_{\text{exp}} \rightarrow 0$$

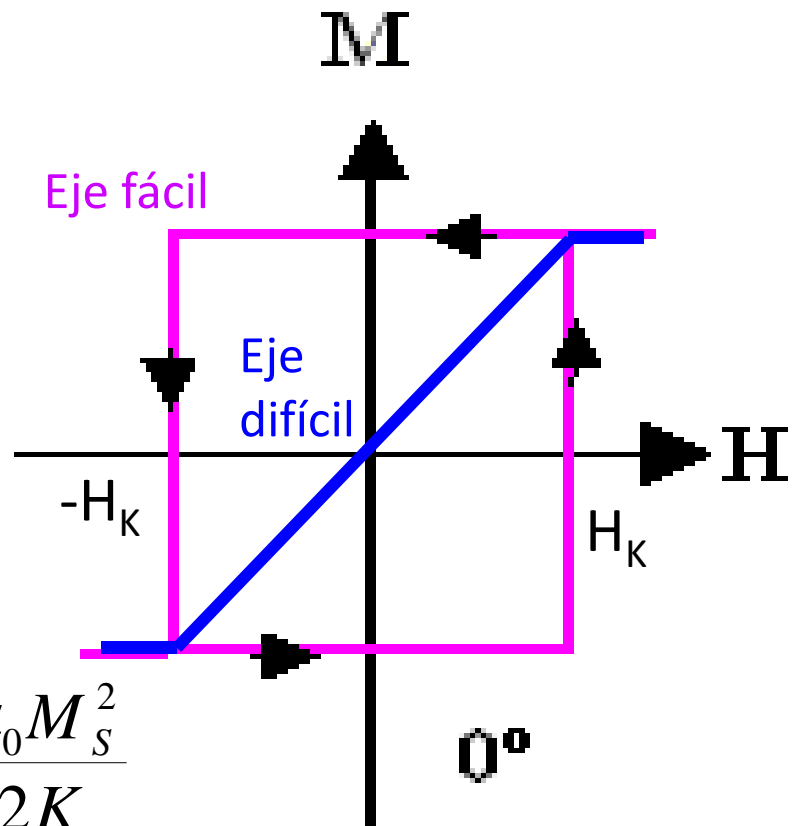
$$\chi_\infty ? \quad \tau \gg \tau_{\text{exp}} \quad \tau / \tau_{\text{exp}} \rightarrow \infty$$



Caso ZFC

$$H_K = \frac{2K}{\mu_0 M_s}$$

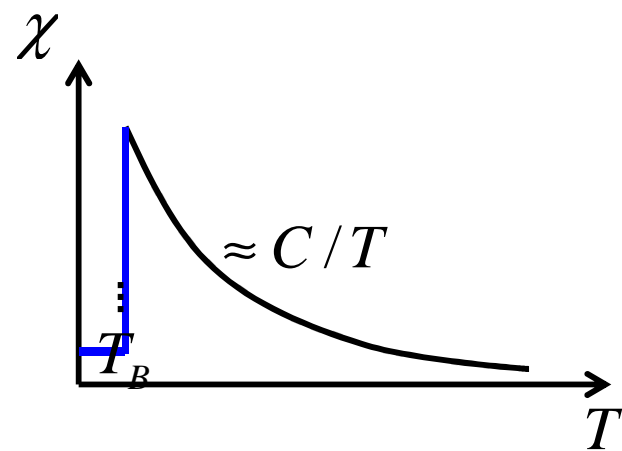
$$\chi_\infty^{ZFC} = (1 - S) \frac{\mu_0 M_s^2}{2K}$$



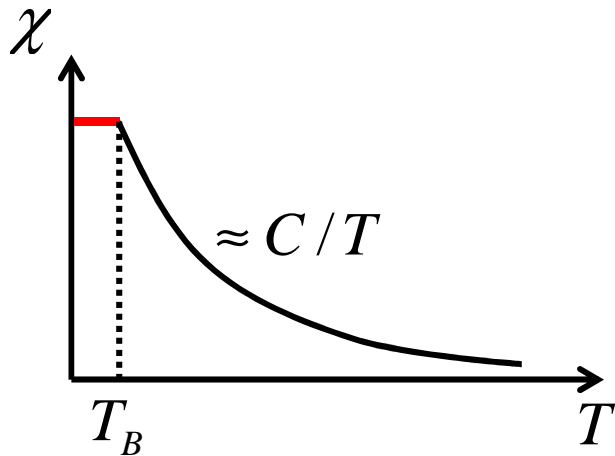
$$\text{random} \rightarrow S = 1/3; \quad \chi_\infty^{ZFC} = \frac{\mu_0 M_s^2}{3K}$$

## Caso ZFC

$$\chi_{ZFC} = \chi_{\infty}^{ZFC} + (\chi_0 - \chi_{\infty}^{ZFC}) \frac{1}{1 + (\tau / \tau_{\text{exp}})^2}$$



## Caso FC



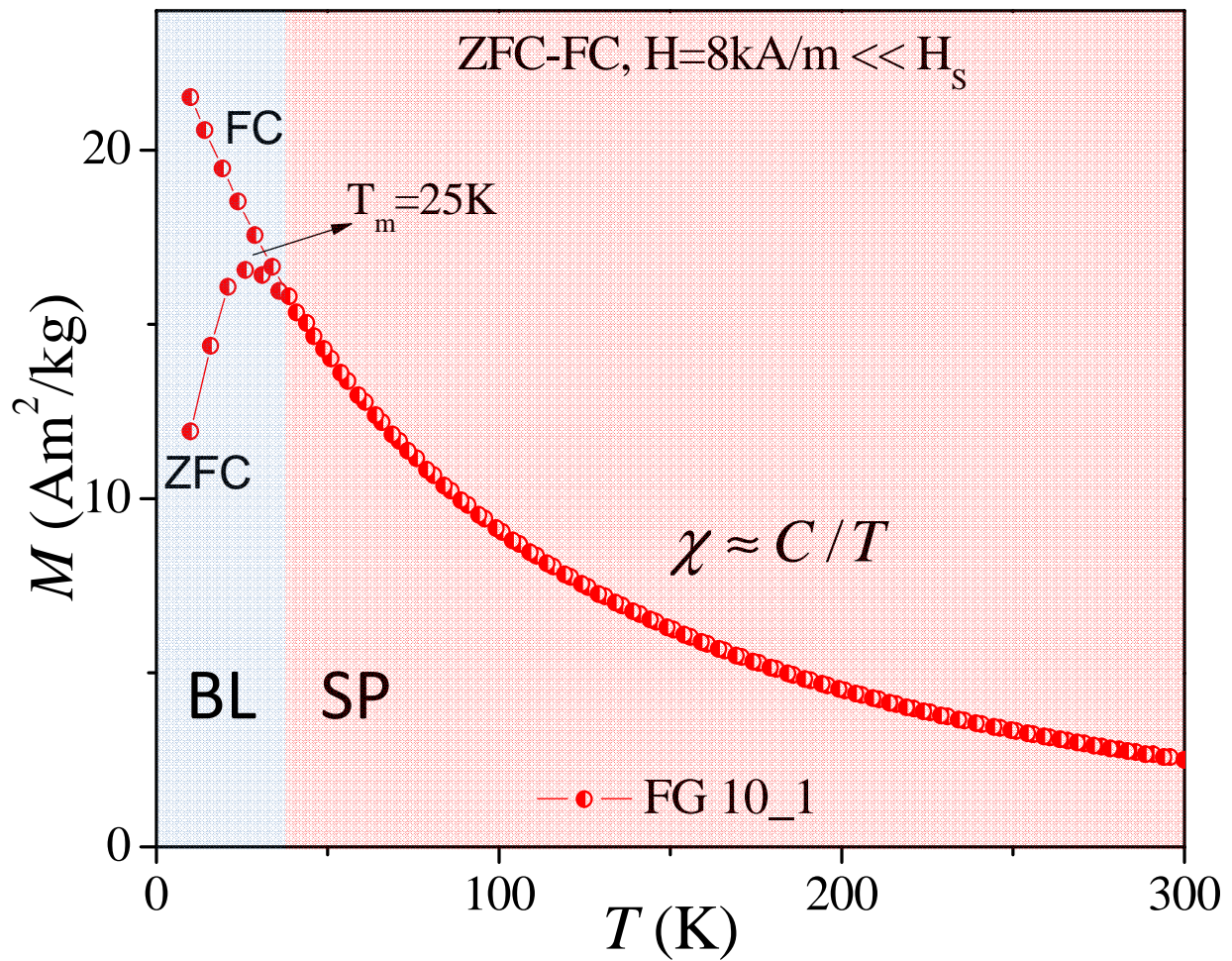
$$\chi_0 = \frac{\mu_0 N V^2 M_s^2}{3kT} \quad \tau \ll \tau_{\text{exp}} \quad \tau / \tau_{\text{exp}} \rightarrow 0$$

$$\chi_\infty ? \quad \tau \gg \tau_{\text{exp}} \quad \tau / \tau_{\text{exp}} \rightarrow \infty$$

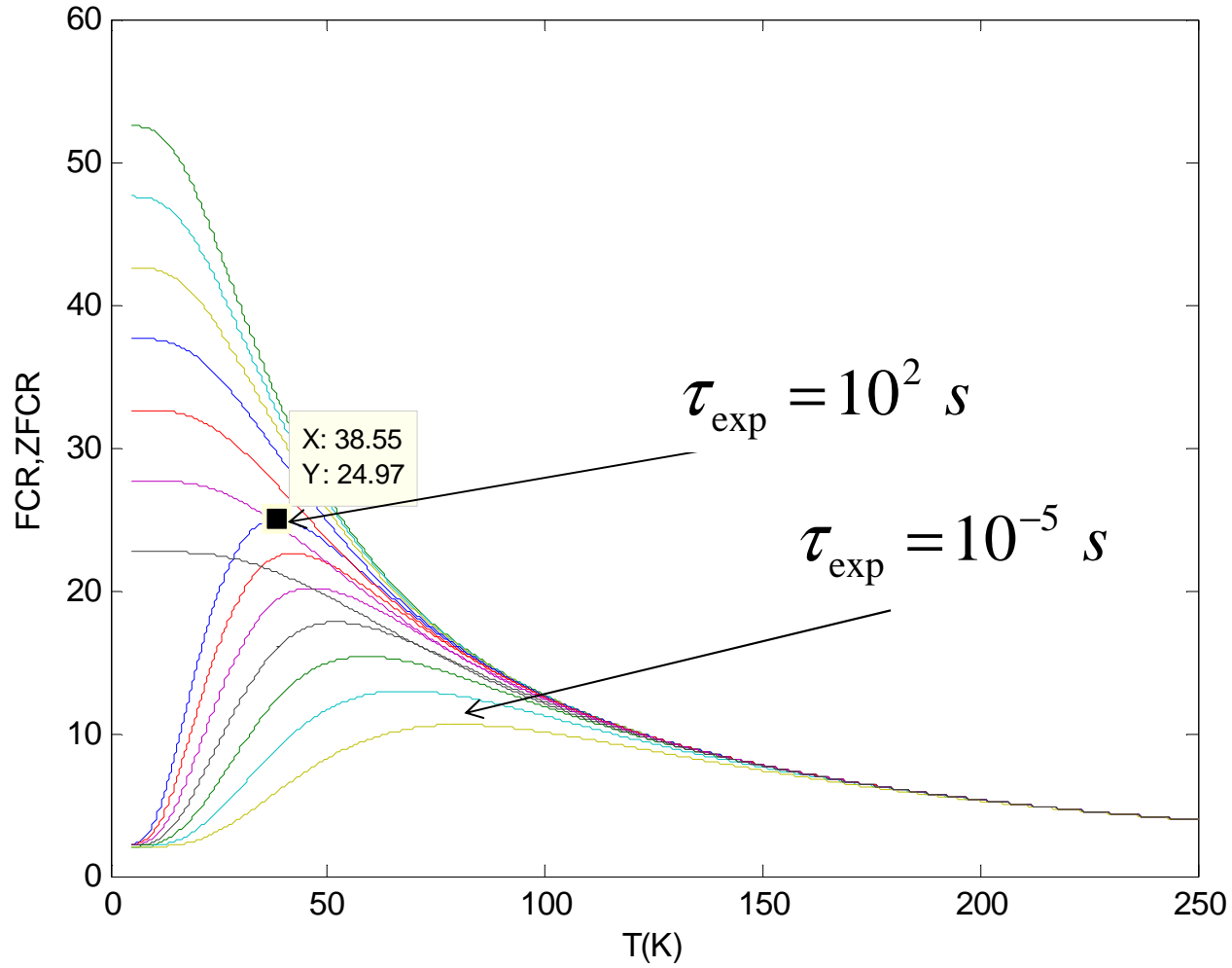
$$\chi_{\infty}^{FC} = (1-S) \frac{\mu_0 M_s^2}{2K} + \frac{\mu_0 N V^2 M_s^2}{3kT_B} \quad \text{medida dc}$$

$$\chi_{FC} = \chi_{\infty}^{FC} + (\chi_0 - \chi_{\infty}^{FC}) \frac{1}{1 + (\tau / \tau_{\text{exp}})^2}$$

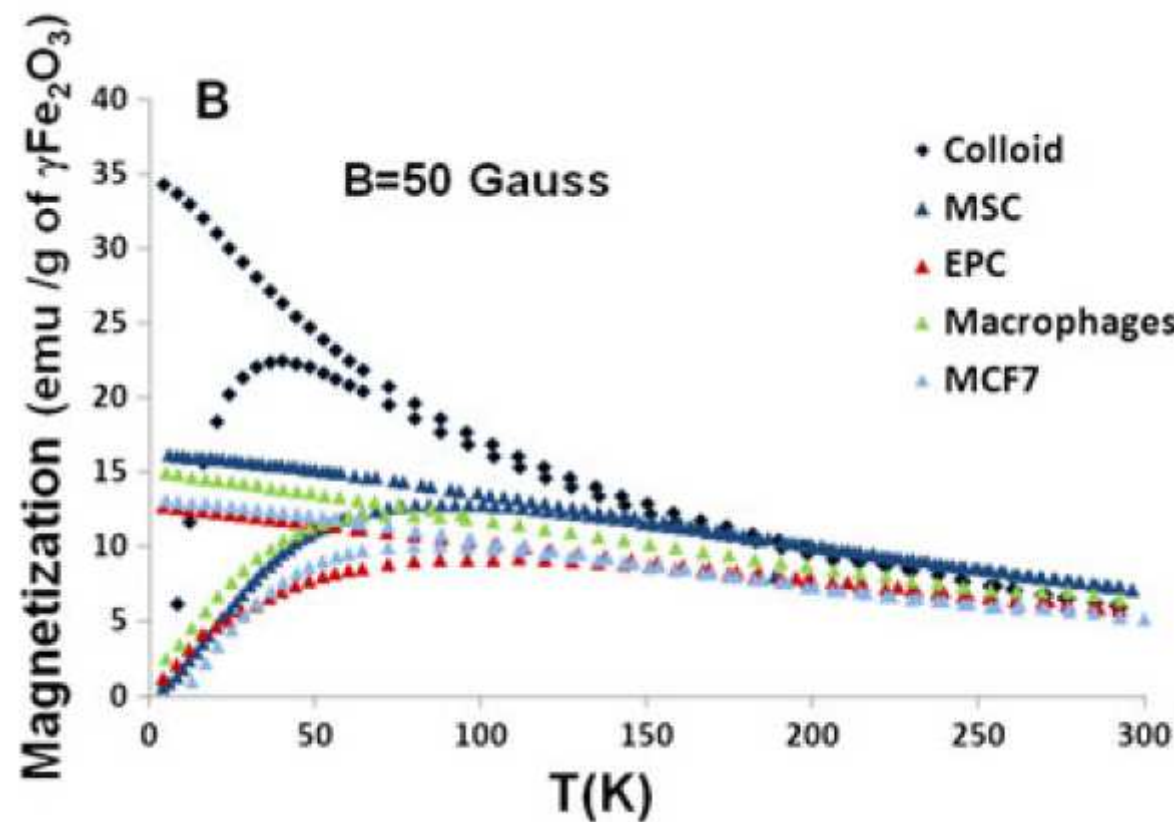
## Medidas ZFC - FC



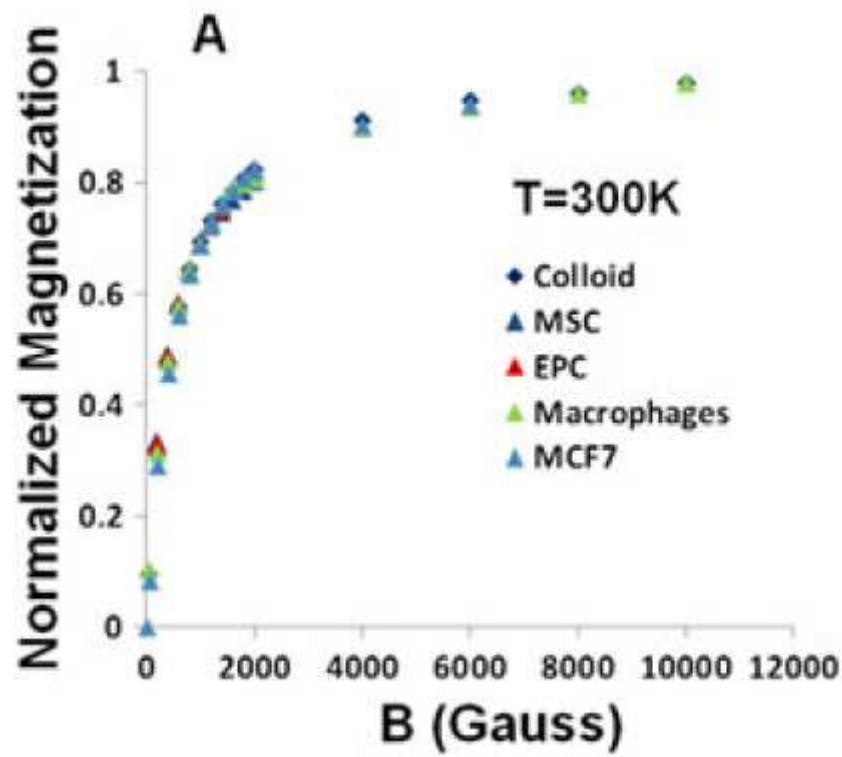
# Simulación numérica



$$\tau_{\text{exp}} = 100, 10, 1, 0.1, 0.01, 0.001, 0.0001, 0.00001 \text{ s}$$



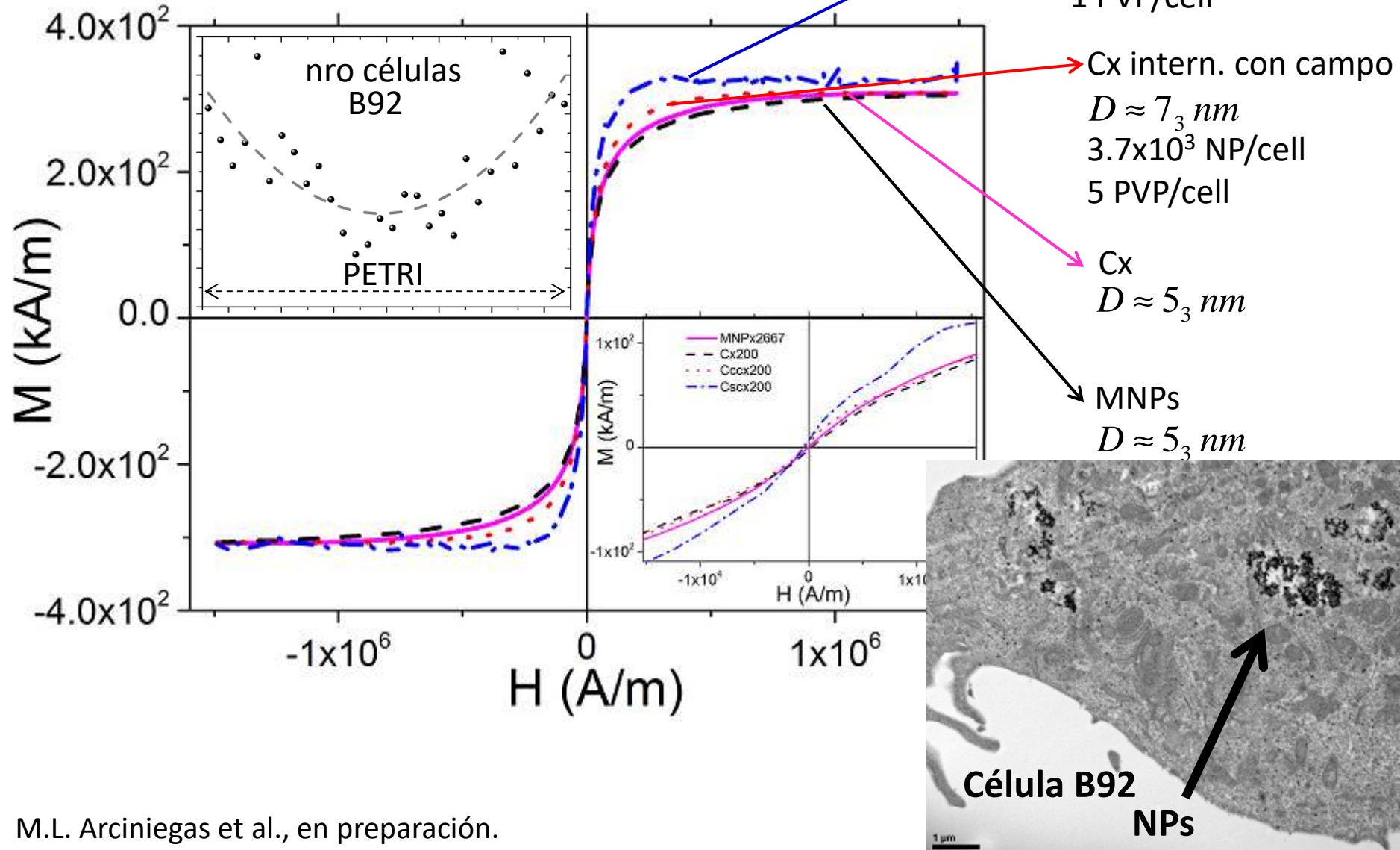
Magnetic and NMR characterization of nanoparticles (NPs) internalized in EPC (13.8 pg iron per cell), MSC (30.5 pg per cell), macrophages (13.1 pg per cell), MCF7 (3.2 pg per cell) or PC3 (2.7 pg per cell) in comparison with the corresponding colloid.



Magnetic and NMR characterization of nanoparticles (NPs) internalized in EPC (13.8 pg iron per cell), MSC (30.5 pg per cell), macrophages (13.1 pg per cell), MCF7 (3.2 pg per cell) or PC3 (2.7 pg per cell) in comparison with the corresponding colloid.

M. Levy et al., Contrast Media Mol. Imaging 2012, 7 373–383

# Caracterización magnética de NPs y complejos

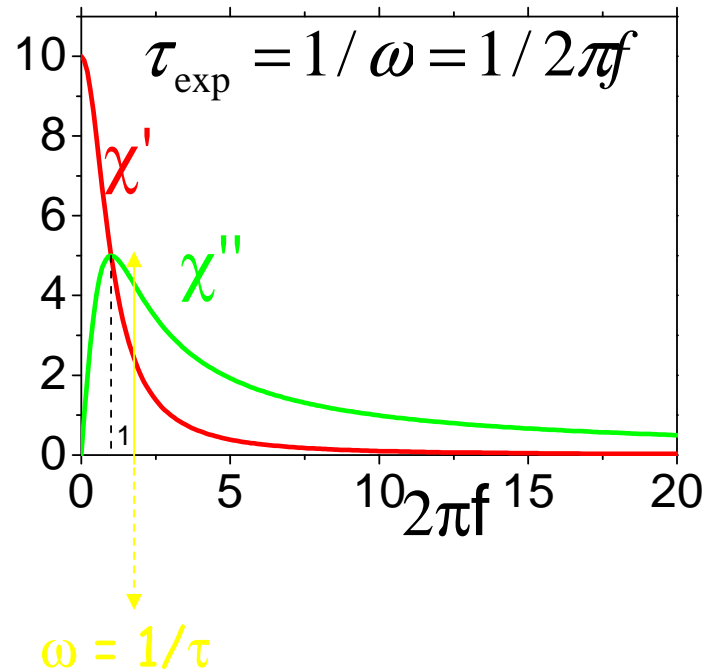


## Medidas ac - Desfasaje – Caso ZFC

$$H = H_0 \cos(\omega t) \quad \tau_{\text{exp}} = 1/\omega = 1/2\pi f$$

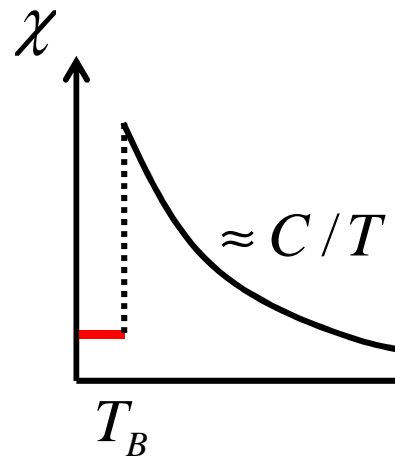
$$\chi_{ZFC}(T) = \chi_{\infty}^{ZFC} + (\chi_0(T) - \chi_{\infty}^{ZFC}) \frac{1}{1 + (\omega\tau(T))^2}$$

$$\chi'(T) = \chi_0(T) \frac{\omega\tau(T)}{1 + (\omega\tau(T))^2}$$



$$\tau(T) = \tau_0 e^{K_{ef} V (1 + H/H_K)^2 / kT} \quad H_K = \frac{2K}{\mu_0 M_S}$$

$$\chi_{\infty}^{ZFC} = (1 - S) \frac{\mu_0 M_S^2}{2K}$$



Medidas ac - Desfasaje - Caso FC

$$H = H_0 \cos(\omega t) + H_{dc} \quad \tau_{\text{exp}} = 1/\omega = 1/2\pi f$$

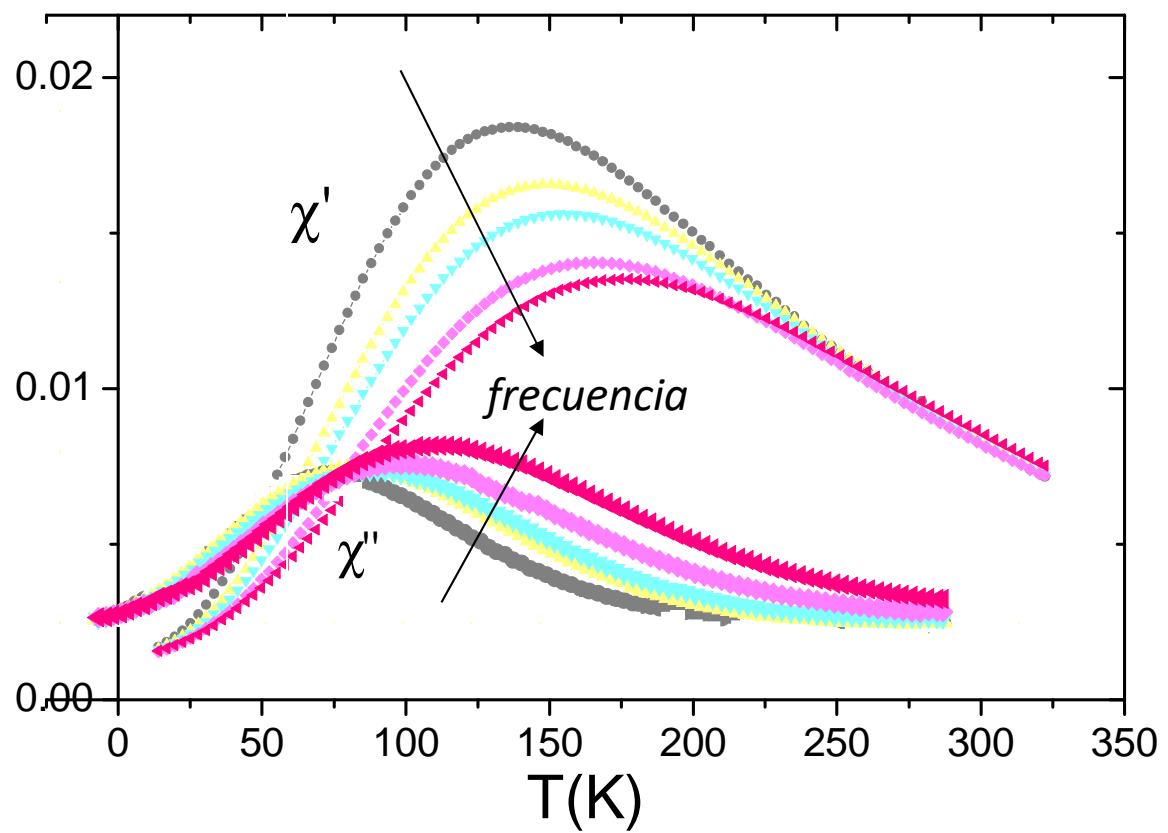
$$\chi_{\infty}^{FC} = (1-S) \frac{\mu_0 M_S^2}{2K}$$

$$\chi_{FC}(T) = \chi_{\infty}^{FC} + (\chi_0(T) - \chi_{\infty}^{ZFC}) \frac{1}{1 + (\omega\tau(T))^2}$$

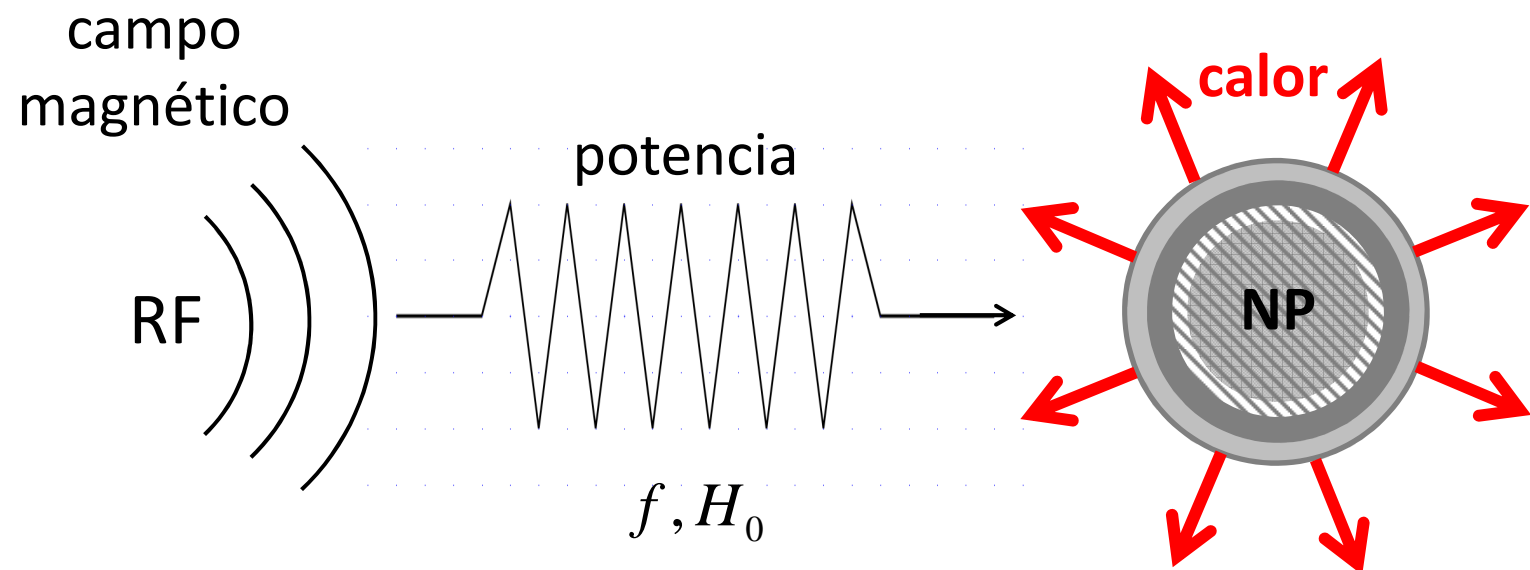
$$\chi'(T) = \chi_0(T) \frac{\omega\tau(T)}{1 + (\omega\tau(T))^2}$$

$$\tau(T) = \tau_0 e^{K_{ef} V (1+H/H_K)^2/kT} \quad H_K = \frac{2K}{\mu_0 M_S}$$

## Medidas ac - Desfasaje – Caso ZFC



# Hipertermia Magnética

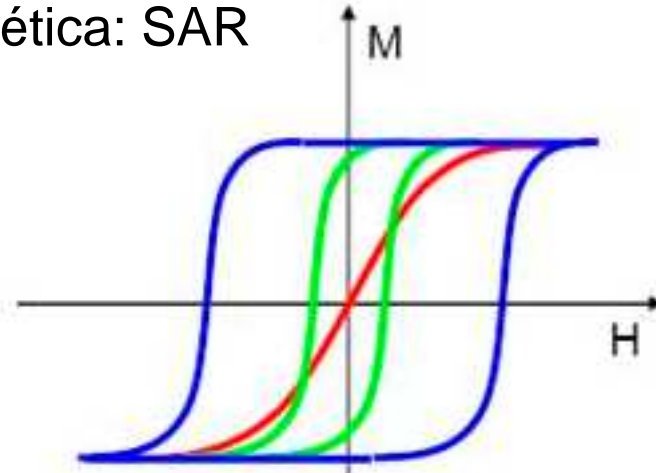


$$SAR \propto \langle V \rangle M_s^2 f H_0^2 \cdot \frac{2\pi f \tau}{1 + (2\pi f \tau)^2}$$

Specific Absorption Rate

## Hipertermia Magnética: SAR

$$P = \mu_0 \pi \chi'' f H_0^2$$



$$\chi'(T) = \chi_0(T) \frac{\omega\tau(T)}{1 + (\omega\tau(T))^2}$$

$$\chi_0 = \frac{\mu_0 N V^2 M_S^2}{3kT}$$

Se define el SAR normalizando la potencia  $P$  por la masa de NPs en lugar del volumen, de modo que

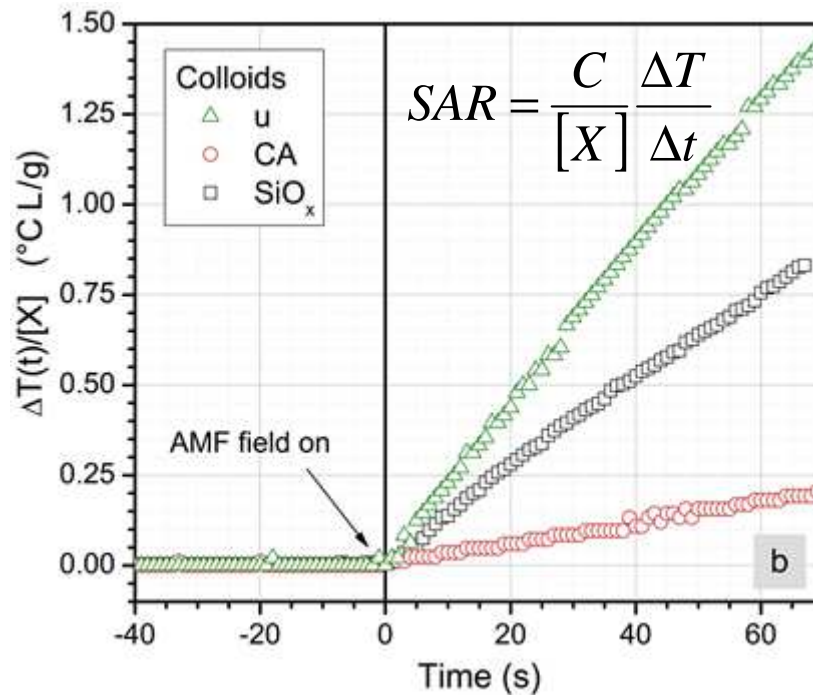
$$SAR = \frac{\pi \mu_0^2 V M_S^2 f H_0^2}{3 \delta k T} \frac{\omega\tau(T)}{1 + (\omega\tau(T))^2}$$

Donde  $\delta$  es la densidad de las NPs

R.E. Rosensweig, Heating magnetic fluid with alternating magnetic field, Journal of Magnetism and Magnetic Materials 252 (2002) 370–374

# Hipertermia Magnética

coloides



128 kHz, 20.3 kA/m

$$10W/g \leq SAR \leq 400W/g$$

**FIN**